МНОГООБРАЗИЯ ЗЕЙФЕРТА И (1,1)–УЗЛЫ

Л. Грасселли, М. Мулаццани

Аннотация. Цель работы — изучить отношения между многообразиями Зейферта и (1,1)-узлами. В частности, доказано, что каждое ориентированное многообразие Зейферта с инвариантами $\{Oo,0\mid -1;\underbrace{(p,q),\ldots,(p,q)}_{n \text{ раз}},(l,l-1)\}$ имеет фундамен-

тальную группу, циклически копредставимую в виде $G_n((x_1^q\dots x_n^q)^lx_n^{-p})$, и, более того, является n-листным строго циклическим накрытием линзового пространства L(|nlq-p|,q), разветвленным над (1,1)-узлом K(q,q(nl-2),p-2q,p-q), если $p\geq 2q$, и над (1,1)-узлом K(p-q,2q-p,q(nl-2),p-q), если p<2q.

Ключевые слова: многообразие Зейферта, (1, 1)-узлы, разветвленное циклическое накрытие, циклически копредставимая группа, диаграмма Хегора.

§1. Введение

Разветвленные циклические накрытия узлов в S^3 с циклически копредставленными фундаментальными группами в последние годы интенсивно исследовались многими авторами (см. [1–10]). Их результаты включены в естественный и более общий контекст в [11], где доказано, что фундаментальная группа каждого n-листного строго циклического накрытия (1,1)-узла допускает циклическое копредставление, кодируемое диаграммой Хегора рода n. В [12] этот результат был улучшен указанием конструктивного алгоритма, который в точности дает циклическое копредставление, стартуя с копредставления (1,1)-узла в терминах группы классов отображений дважды проколотого тора (подробнее о таком копредставлении см. [13]).

В [14] Данвуди ввел класс многообразий, зависящих от шести целых параметров, так называемых многообразий Данвуди, имеющих циклически копредставленные фундаментальные группы. Как доказано в [15, 16], семейство многообразий Данвуди совпадает с семейством строго циклических накрытий линзовых пространств (возможно, S^3), разветвленных над (1, 1)-узлами. Как следствие, каждый (1, 1)-узел может быть задан четырьмя целыми числами a,b,c,r, и мы будем обозначать его через K(a,b,c,r).

В этой работе мы показываем, что ориентируемое многообразие Зейферта с инвариантами

$$\{Oo, 0 \mid -1; \underbrace{(p,q), \dots, (p,q)}_{n \text{ pas}}, (l,l-1)\}$$

имеет фундаментальную группу, изоморфную циклически копредставленной группе $G_n((x_1^q \dots x_n^q)^l x_n^{-p})$, и является n-листным строго циклическим накрытием линзового пространства L(|nlq-p|,q), разветвленным над (1,1)-узлом

Work performed under the auspices of the G.N.S.A.G.A. of I.N.d.A.M. (Italy) and the University of Bologna, funds for selected research topics.

^{© 2009} Грасселли Л., Мулаццани М.

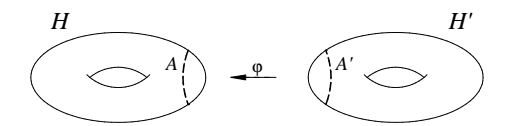


Рис. 1. Декомпозиция (1,1)-узла.

K(q,q(nl-2),p-2q,p-q), если $p\geq 2q,$ и над (1,1)-узлом K(p-q,2q-p,q(nl-q),p-2q)(2), p-q), если p < 2q.

§ 2. Основные обозначения

Конечное балансированное копредставление группы $\langle x_1, \ldots, x_n \mid r_1, \ldots, r_n \rangle$ называется циклическим копредставлением, если существует слово w в свободной группе F_n , порожденной x_1, \ldots, x_n , такое, что $r_k = \theta^{k-1}(w), k = 1, \ldots, n$, где $\theta: F_n \to F_n$ обозначает автоморфизм, определяемый по правилу $\theta(x_i) =$ x_{i+1} (индексы берутся по mod n), $i = 1, \ldots, n$. Это копредставление (и соответствующая группа) будут обозначаться через $G_n(w)$. Более подробно см. в [17].

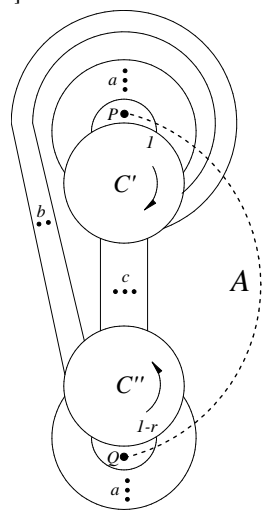


Рис. 2. Диаграмма Хегора для K(a, b, c, r).

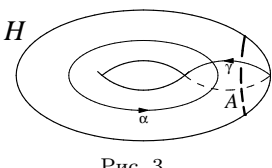


Рис. 3.

Узел K в замкнутом связном ориентируемом 3-многообразии N^3 называется (1,1)-узлом если существует сплетение Хегора рода один

$$(N^3, K) = (H, A) \cup_{\omega} (H', A'),$$

где H и H' — полнотории, $A \subset H$ и $A' \subset H'$ собственно вложенные тривиальные дуги¹⁾, а φ : $(\partial H',\partial A') \to (\partial H,\partial A)$ — присоединяющий гомеоморфизм (рис. 1). Очевидно, N^3 оказывается линзовым пространством L(p,q), включая $S^3 = L(1,0)$ и $S^2 \times S^1 = L(0,1)$.

Хорошо известно, что семейство (1, 1)-узлов содержит все торические узлы и все двухмостовые узлы в S^3 . В последнее время некоторые топологические свойства (1, 1)-узлов были исследованы во многих публикациях (см. литературу

Копредставление (1,1)-узлов четверкой целых параметров разработано в [16] (см. также [18]). Каждый (1,1)-узел, кроме единственного исключения — «сердцевинного» узла $\{P\} \times \mathbf{S}^1 \subset$ $\mathbf{S}^2 \times \mathbf{S}^1$, может быть представлен четырьмя неотрицательными целыми числами a, b, c, r и будет обозначаться через K(a, b, c, r).

(1,1)-Узел K(a,b,c,r), где a+b+c>0, допускает естественное (1,1)разбиение $(H, A) \cup_{\varphi} (H', A')$, описываемое диаграммой Хегора рода один, приведенной на рис. 2, где метки a,b и c обозначают соответствующее число параллельных дуг, и склеивание между окружностями C' и C'' зависит от параметра скручивания r: попарно отождествляются вершины с одинаковыми метками (отметим, что r может быть взято по модулю 2a + b + c).

 $^{^{(1)}}$ Это означает, что существует диск $D\subset H$ (соответственно $D'\subset H'$) такой, что $A\cap D=$ $A \cap \partial D = A$ и $\partial D - A \subset \partial H$ (соответственно $A' \cap D' = A' \cap \partial D' = A'$ и $\partial D' - A' \subset \partial H'$).

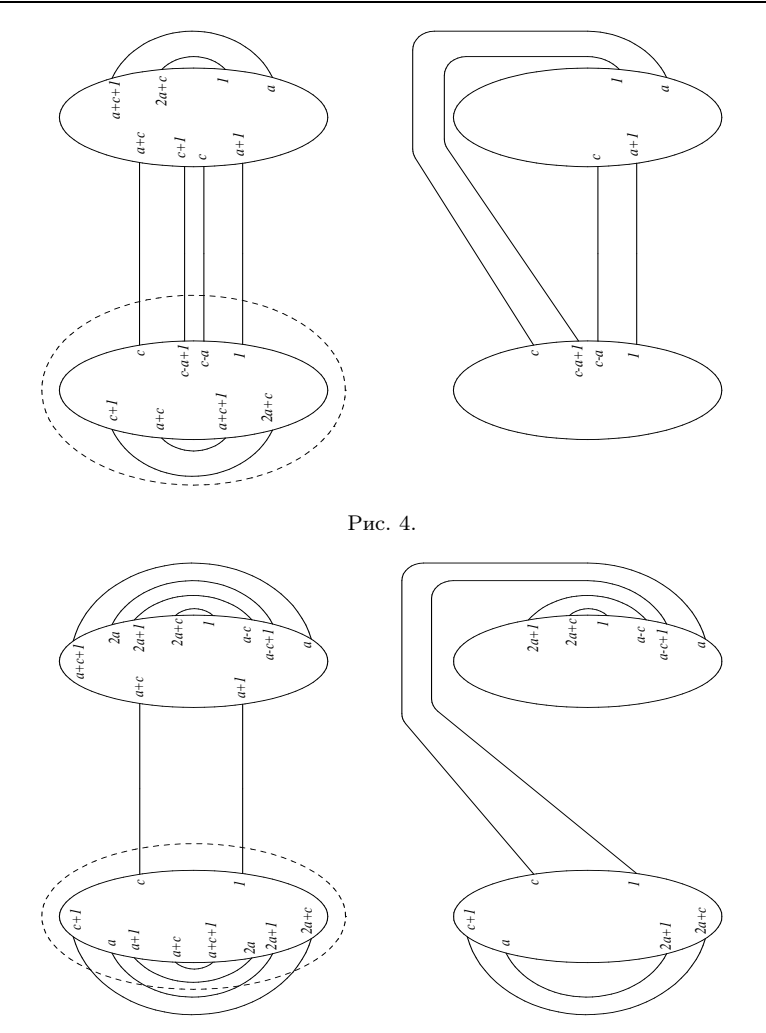


Рис. 5.

Как простое следствие теоремы Зейферта — ван Кампена имеем, что фундаментальная группа дополнения к (1,1)-узлу (так же, как и его первая группа гомологий) порождена двумя петлями $\alpha, \gamma \subset \partial H$, изображенными на рис 3.

В § 3 нам понадобится следующий результат.

Лемма 1. (i) Если a и c — неотрицательные целые числа такие, что $\gcd(a,c)=1$, то K(a,0,c,a) является (1,1)-узлом в линзовом пространстве L(c,a).

- (ii) Если a,b,c неотрицательные целые числа такие, что $\gcd(a-c,b+c)$ = 1, то K(a,b,c,a) является (1,1)-узлом в линзовом пространстве L(b+c,a+b).
- (iii) Если a,b,c неотрицательные целые числа такие, что a>0 и $\gcd(a,b-c)=1$, то K(a,b,c,a+c) является (1,1)-узлом в линзовом пространстве L(|b-c|,a).

ДОКАЗАТЕЛЬСТВО. Как доказано в [18], K(a,b,c,r) эквивалентен K(a,c,b,2a+b+c-r), и K(a,0,c,r) эквивалентен K(a,c,0,r). Как следствие, K(a,0,c,r) эквивалентен K(a,0,c,2a+c-r).

(i) Если a=0, то c=1, и результат очевиден. Если 0 < a < c, то, применяя движение Зингера [19] типа IB, приведенное на рис. 4, получаем каноническую

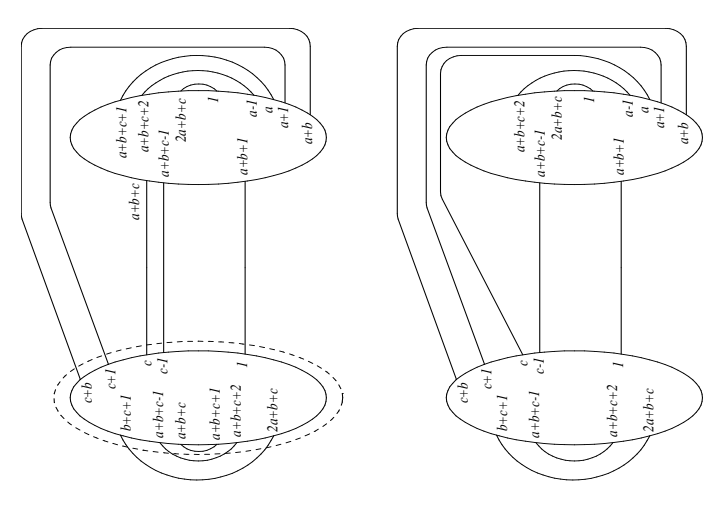


Рис. 6.

диаграмму Хегора для L(c,a). Если $a \ge c$, то движение Зингера, приведенное на рис. 5, преобразует диаграмму K(a,0,c,a) в диаграмму K(a-c,c,0,a-c), эквивалентную K(a-c,0,c,a-c). Поскольку L(c,a-c) гомеоморфно L(c,a), результат следует из предыдущего случая a < c.

(ii) Если b=0, то результат вытекает из (i). Если b>0, то при выполнении движения Зингера, как на рис. 6, диаграмма K(a,b,c,a) превращается в диаграмму K(a-1,b+1,c-1,a-1). Если $a\leq c$, то после выполнения движения a раз мы получаем диаграмму K(0,b+a,c-a,0), которая является канонической диаграммой Хегора L(b+c,a+b), поскольку

$$\gcd(a+b,b+c)=\gcd(a-c,b+c)=1.$$

Если a>c, то после выполнения движения c раз мы получаем диаграмму K(a-c,b+c,0,a-c), эквивалентную K(a-c,0,b+c,a-c). Теперь результат следует из (i), так как L(b+c,a-c) гомеоморфно L(b+c,a+b).

(iii) Поскольку K(a,b,c,a+c) эквивалентен K(a,c,b,a+b), мы можем всегда считать, что $c \leq b$. Если c > 0, то при выполнении движения Зингера, как на рис. 7, диаграмма K(a,b,c,a+c) превращается в диаграмму K(a,b-1,c-1,a+c-1). После выполнения движения c раз мы получаем диаграмму K(a,b-c,0,a), которая эквивалентна K(a,0,b-c,a). Теперь результат следует из (i).

Отметим, что, поскольку K(a,b,c,a+b+c) эквивалентен K(a,c,b,a), узел K(a,b,c,a+b+c) является (1,1)-узлом в линзовом пространстве L(b+c,a+c), если $\gcd(a-b,b+c)=1$.

n-Листное циклическое накрытие M^3 3-многообразия N^3 , разветвленное над узлом $K\subset N^3$, называется *строго циклическим*, если индекс ветвления множества K равен n. Это означает, что слой в M^3 каждой точки узла K состоит из одной точки. В этом случае гомологический класс m меридианной петли вокруг K при отображении монодромии $\omega: H_1(N^3-K) \to \mathbf{Z}_n$ накрытия отображается в порождающий группы \mathbf{Z}_n (с точностью до эквивалентности мы всегда можем считать, что $\omega(m)=1$). Отметим, что разветвленное циклическое накрытие узла K в \mathbf{S}^3 всегда является строго циклическим и определяется однозначно с точностью до эквивалентности, поскольку $H_1(\mathbf{S}^3-K)\cong \mathbf{Z}$. Очевидно, это свойство не остается верным для узла в более общем 3-многообразии.

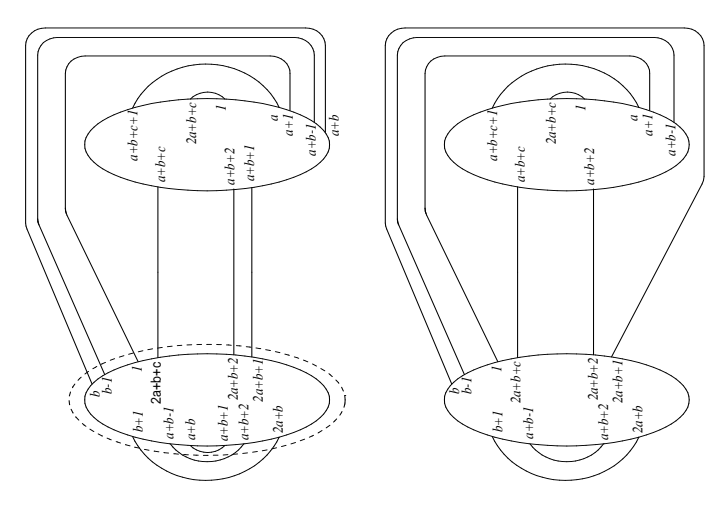


Рис. 7.

Необходимые и достаточные условия существования и единственности строго циклических разветвленных накрытий (1,1)-узлов получены в [12].

§ 3. Основные результаты

Пусть n,p,q,l — положительные целые числа такие, что q < p и $\gcd(p,q) = 1$. Далее через $\Sigma(n,p,q,l)$ мы обозначаем ориентируемое многообразие Зейферта [20] с инвариантами

$$\{Oo, 0 \mid -1; \underbrace{(p,q), \ldots, (p,q)}_{n \text{ pas}}, (l,l-1)\}$$

с пространством орбит S^2 , имеющее n исключительных слоев типа (p,q) и при l>1 исключительный слой типа (l,l-1).

Отметим, что, в частности, многообразия $\Sigma(n,2,1,1)$ — это в точности многообразия Нойвирта M_n , введенные в [21], изучавшиеся в [22] и обобщавшиеся в [23–25].

Предложение 2. Фундаментальная группа многообразия $\Sigma(n, p, q, l)$ является циклически копредставимой группой $G_n(w)$, где $w = (x_1^q \dots x_n^q)^l x_n^{-p}$.

ДОКАЗАТЕЛЬСТВО. Согласно [26] стандартное копредставление группы $G=\pi_1(\Sigma(n,p,q,l))$ имеет вид

$$\langle y_1, \dots, y_n, y, h \mid [y_i, h], [y, h], y_i^p h^q, y^l h^{l-1}, y_1 \dots y_n y h; i = 1, \dots, n \rangle.$$

Поскольку $\gcd(p,q)=1,$ существуют $\alpha,\beta\in\mathbf{Z}$ такие, что $q\beta-p\alpha=1.$

Из соотношений имеем $y^lh^{l-1}=(yh)^lh^{-1}$. При введении нового порождающего x=yh копредставление превращается в

$$\langle y_1, \dots, y_n, x, h \mid [y_i, h], [x, h], y_i^p h^q, x^l h^{-1}, y_1 \dots y_n x; i = 1, \dots, n \rangle.$$

Теперь определим $x_i=y_i^\beta h^\alpha$ для $i=1,\ldots,n,$ чтобы получить новое копредставление для G:

$$\langle y_1, \dots, y_n, x, h, x_1, \dots, x_n \mid [y_i, h], [x, h], y_i^p h^q,$$

$$x^l h^{-1}, y_1 \dots y_n x, x_i^{-1} y_i^{\beta} h^{\alpha}; i = 1, \dots, n \rangle.$$

Из соотношений находим

$$x_i^q = y_i^{qeta} h^{qlpha} = y_i^{1+plpha} h^{qlpha} = y_i ig(y_i^p h^qig)^lpha = y_i$$

И

$$x_i^p = y_i^{p\beta} h^{p\alpha} = y_i^{p\beta} h^{q\beta-1} = (y_i^p h^q)^{\beta} h^{-1} = h^{-1}.$$

Следовательно, G допускает копредставление

$$\langle x, h, x_1, \dots, x_n \mid [x_i^q, x_i^{-p}], [x, x^l], x_i^{qp} x_i^{-qp},$$

$$x^l h^{-1}, x_1^q \dots x_n^q x, x_i^{-1} x_i^{q\beta} x_i^{-p\alpha}, x_i^p h; i = 1, \dots, n \rangle,$$

которое, очевидно, приводится к

$$\langle x, h, x_1, \dots, x_n \mid x^l h^{-1}, x_1^q \dots x_n^q x, x_i^p h; i = 1, \dots, n \rangle.$$

Из соотношений получаем $x=\left(x_1^q\dots x_n^q\right)^{-1}$ и $h=\left(x_1^q\dots x_n^q\right)^{-l}$. Следовательно, G допускает копредставление

$$\langle x_1,\ldots,x_n \mid (x_1^q\ldots x_n^q)^l x_i^{-p}; \ i=1,\ldots,n \rangle,$$

которое эквивалентно

$$\langle x_1, \ldots, x_n \mid (x_1^q \ldots x_n^q)^l x_n^{-p}, x_i^p x_{i+1}^{-p}; i = 1, \ldots, n-1 \rangle.$$

Для доказательства изоморфности G и $G_n(w)$ достаточно показать, что нормальные замыкания в свободной группе F_n множеств

$$\{w, x_i^p x_{i+1}^{-p}; i=1,\ldots,n-1\}$$
 и $\{w, \theta^i(w); i=1,\ldots,n-1\}$

совпадают.

Это достигается с учетом того, что, полагая $w_i = \theta^i(w)$, имеем

$$w_i^{-1}x_{i+1}^qw_{i+1}x_{i+1}^{-q}=x_i^px_{i+1}^{-p}$$
 для $i=1,\ldots,n-2,$ $w_{n-1}^{-1}x_n^qwx_n^{-q}=x_{n-1}^px_n^{-p},\quad x_1^{-q}wig(ig(x_1^px_2^{-p}ig)\ldotsig(x_{n-1}^px_n^{-p}ig)ig)^{-1}x_1^q=w_1,$ $x_i^{-q}w_{i-1}ig(x_{i-1}^px_i^{-p}ig)x_i^q=w_i$ для $i=2,\ldots,n-1.$

В силу тривиального факта, что многообразие Зейферта с одним или двумя сингулярными слоями является линзовым пространством (см. [26]), будем считать, что n>1 и l>1 при n=2.

Теорема 3. Многообразие Зейферта $\Sigma(n,p,q,l)$ является n-листным строго циклическим накрытием линзового пространства L(|nlq-p|,q), разветвленным над (1,1)-узлом K(q,q(nl-2),p-2q,p-q), если $p\geq 2q$, и над (1,1)-узлом K(p-q,2q-p,q(nl-2),p-q), если p<2q.

Доказательство. (i) Положим $p\geq 2q$. По п. (iii) леммы 1 K=K(q,q(nl-2),p-2q,p-q) является (1,1)-узлом в L(|nlq-p|,q). Предположим теперь, что K допускает n-листное строго циклическое разветвленное накрытие $C_n(K)$, определяемое условиями $\omega(\alpha)=0$ и $\omega(\gamma)=1$. В этом случае $C_n(K)$ является многообразием Данвуди D(q,q(nl-2),p-2q,n,p-q,0) (см. [15,16]). Определяющая его диаграмма Хегора рода n, имеющая циклическую симметрию порядка n, приведена на рис. 8, где a=q,b=q(nl-2),c=p-2q,r=p-q, и окружность C_i' должна быть приклеена к окружности C_i'' для $i=1,\ldots,n$ в соответствии с

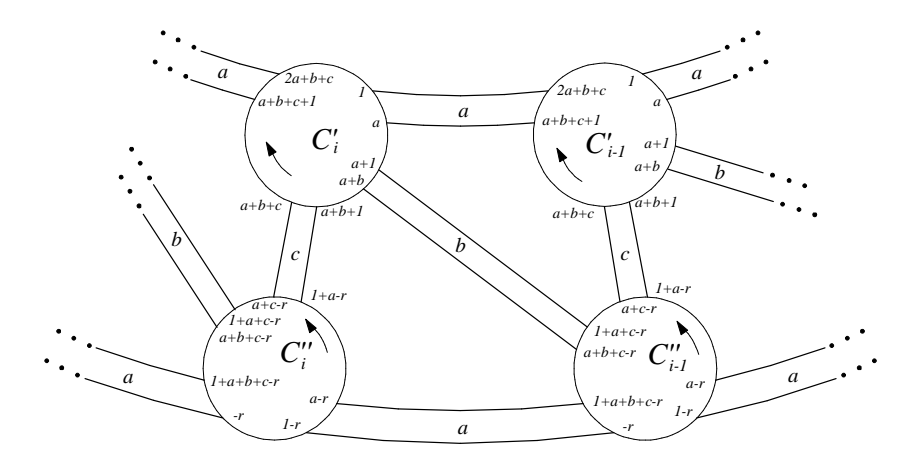


Рис. 8.

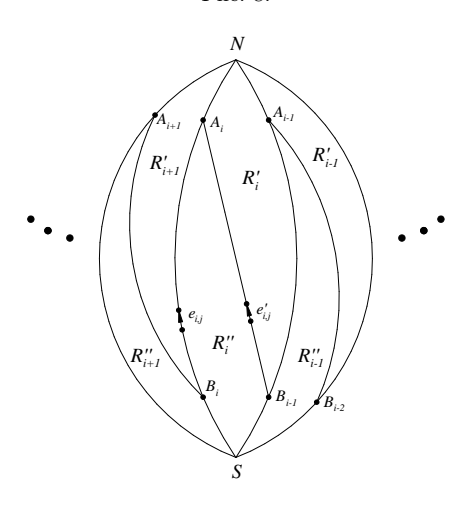


Рис. 9.

параметром скручивания r. Чтобы убедиться в том, что указанная диаграмма действительно представляет многообразие, удобно рассмотреть клеточное разбиение, двойственное разбиению, ассоциированному с диаграммой. При таком подходе $C_n(K)$ получается попарным отождествлением областей 2-клеточного разбиения границы 3-шара, как изображено на рис. 9. Разбиение состоит из 2n областей: R'_1, \ldots, R'_n вокруг северного полюса N и R''_1, \ldots, R''_n вокруг южного полюса S, соответствующих циклам C'_i и C''_i диаграммы. Ребра разбиения соответствуют дугам диаграммы следующим образом. Полюсы S и N соединены n меридианами, и каждый меридиан m_i составлен из nlq ребер $e_{i,j}$ ($j=1,\ldots,nlq$) от S к N, более точно, q ребер от S до B_i , q(nl-2) от B_i до A_i и q от A_i до N. Более того, для $i=1,\ldots,n$ дуга a_i , соединяющая a_{i-1} с a_i , составлена из a_i 0 точки a_i 1 у a_i 2 совпадают. Для получения a_i 3 область a_i 4 прикленвается к a_i 6 совмещается с точкой a_i 7 до a_i 8. При таком склеивании то точка a_i 8 из a_i 7 совмещается с точкой a_i 8 из a_i 9. При таком склеивании

 $^{^{2)}}$ Индекс i рассматривается по модулю n.

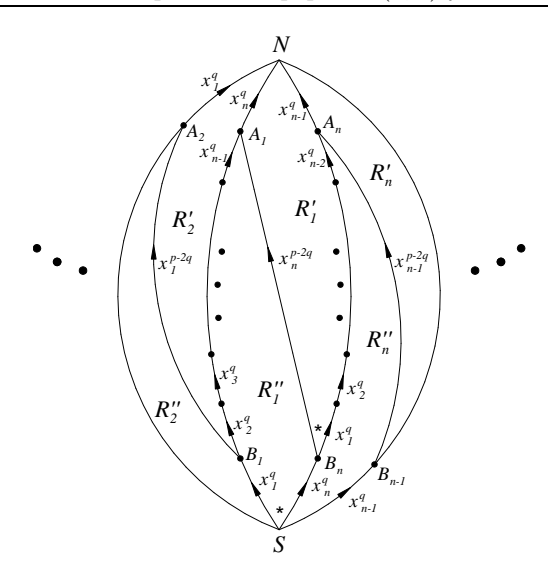


Рис. 10. Случай $p \ge 2q$.

имеем: $e_{i,j} \equiv e_{i-1,j+q}$ для $j=1,\ldots,q(nl-1),\ e_{i-1,j} \equiv e'_{i,j}$ для $j=1,\ldots,q,$ $e'_{i,j} \equiv e'_{i,j+q}$ для $j=1,\ldots,p-3q$ и $e'_{i,p-3q+k} \equiv e_{i,q(nl-1)+k}$ для $k=1,\ldots,q.$ Как результат всех отождествлений, получаем $e_{i,j} \equiv e_{i,j+nq} \equiv \cdots \equiv e_{i,j+n(l-1)q}$ для $j=1,\ldots,nq$ и, более того, $e_{i-1,j} \equiv e_{i,q(nl-1)+j}$ для $j=1,\ldots,q.$ Поскольку $\gcd(p,q)=1,$ все ребра дуг $SB_{i-1},\ B_{i-1}A_i$ и A_iN склеиваются и мы будем использовать для них обозначение $x_i.$ Следовательно, q(nl-2) ребер дуги B_iA_i таковы: q экземпляров $x_{i+1},\ q$ экземпляров x_{i+2},\ldots,q экземпляров x_i (l-1 раз) и, далее, q экземпляров $x_{i+1},\ q$ экземпляров x_{i+2},\ldots,q экземпляров x_{i-2} (рис. 10). Поскольку каждое ребро x_i появляется p раз последовательно, его концы совпадают. Более того, так как каждое ребро x_i имеет концом S, клеточное разбиение $C_n(K)$ состоит из одной вершины, n ребер, n областей и одного 3-шара. По критерию Зейферта $C_n(K)$ действительно является замкнутым ориентируемым 3-многообразием.

Более того, $\pi_1(C_n(K))$ допускает балансированное копредставление с порождающими x_1,\ldots,x_n и соотношениями, получаемыми при обходе границ областей R_i' . Как следствие, $\pi_1(C_n(K))$ равна $G_n\left(\left(x_1^q\ldots x_n^q\right)^lx_n^{-p}\right)$ и, значит, изоморфна $\pi_1(\Sigma(n,p,q,l))$.

Для доказательства того, что $C_n(K)$ и $\Sigma(n,p,q,l)$ действительно гомеоморфны, заметим, что $\pi_1(C_n(K))$ имеет нетривиальный центр. Таким образом, $C_n(K)$ либо простое, либо является связной суммой $C_n(K) = M\#M'$, где $\pi_1(M')$ тривиальна, а M простое и $\pi_1(M) = \pi_1(C_n(K))$.

Если $\Sigma(n,p,q,l)$ является большим (в смысле [26]), то M также большое многообразие Зейферта (см. [27]). Поэтому M и $\Sigma(n,p,q,l)$ гомеоморфны, при этом имеют род Хегора по крайней мере n-2 (см. [28]). Если M' не гомеоморфно \mathbf{S}^3 , то его род Хегора превосходит два и $C_n(K)$ имеет род Хегора более, чем n. Но это невозможно, поскольку $C_n(K)$ допускает сплетение Хегора рода n [11]. Следовательно, $M' = \mathbf{S}^3$ и $C_n(K) = \Sigma(n,p,q,l)$.

Если $\Sigma(n,p,q,l)$ не является большим, то имеет место одна из следующих возможностей: (a) $n=3,\ p=2,\ q=1=l;$ (b) $n=2,\ p=2,\ q=1,\ l>1;$ (c) $n=2,\ p=3,\ q=1,\ l=2.$ Поскольку для q=1 данное разбиение $C_n(K)$

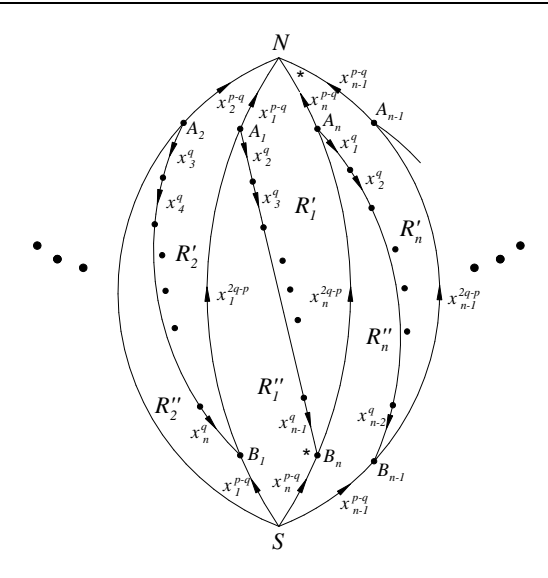


Рис. 11. Случай p < 2q.

совпадает с разбиением $P(p, \ldots, p; l)$, приведенным в [25], результат следует из [25, предложение 4.1].

(ii) Пусть p<2q. По п. (ii) леммы 1 K(p-q,2q-p,q(nl-2),p-q) является (1,1)-узлом в L(|nlq-p|,q). Теперь предположим, что K допускает n-листное строго циклическое разветвленное накрытие $C_n(K)$, определяемое $\omega(\alpha)=1$ и $\omega(\gamma)=1$. В этом случае $C_n(K)$ является многообразием Данвуди D(p-q,2q-p,q(nl-2),n,p-q,1). Определяющая его диаграмма Хегора рода n, имеющая циклическую симметрию порядка n, приведена на рис. n, где n0 n1 n1 n2 n3 n4 n4 n5 n6 n7 n7 n8 соответствии с параметром скручивания n7. Вновь предпочтительнее обратиться n8 дойственному разбиению (см. рис. 9). Теперь каждый меридиан составлен из n9 ребер, а именно n9 из n8 в n9 получения n9 госуми n9 добразом, что точка n9 из n9 готождествляется с точкой n9 гочкой n9 гочкой n9 гочкой n9 готожа n9 готождествляется с точкой n9 гочкой n9

Совершенно аналогично с п. (i) легко видеть, что склеивание приводит к клеточному разбиению $C_n(K)$, состоящему из одной вершины, n ребер, n областей и одного 3-шара (см. 2-остов на рис. 11). Поэтому $\pi_1(\Sigma(n,p,q,l))$ изоморфна $\pi_1(C_n(K))$ и $\Sigma(n,p,q,l)$ гомеоморфно $C_n(K)$, когда оно является большим. Единственное возникающее малое многообразие Зейферта соответствует случаю $n=q=l=2,\ p=3$. Для получения результата достаточно доказать, что D=D(1,1,4,2,1,1) является 2-листным накрытием \mathbf{S}^3 , разветвленным над узлом Монтесиноса $\mathbf{m}(-1;1/2,2/3,2/3)$ (см. [29, гл. 12]). Диаграмма Хегора рода два для D приведена на рис. 12, где окружность C_1'' (соответственно C_2'') должна быть приклеена к окружности C_2''' (соответственно C_1''') таким образом, что одинаково помеченные вершины отождествляются. Применение к этой диаграмме алгоритма Такахаши [30] (как изображено на рис. 13) показывает, что многообразие D является 2-листным разветвленным накрытием узла K, представленного 3-мостовой диаграммой на рис. 14. Из этой диаграммы легко находится копредставление Виртингера фундаментальной группы дополнения

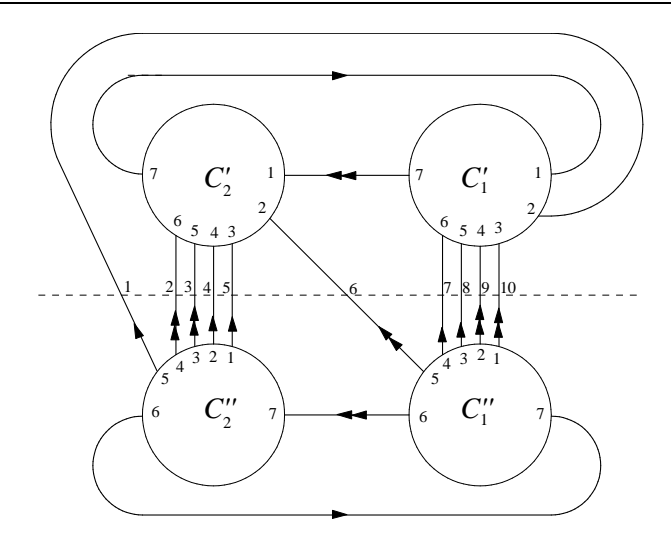


Рис. 12. D(1, 1, 4, 2, 1, 1).

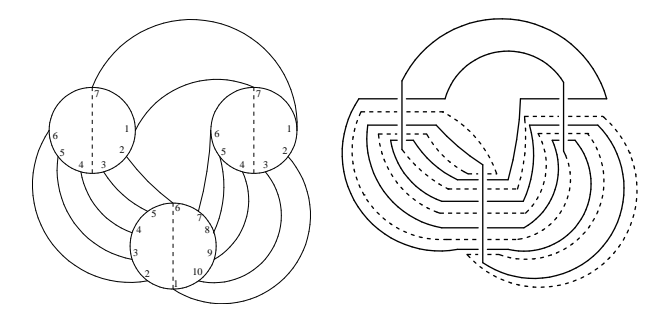


Рис. 13.

кK:

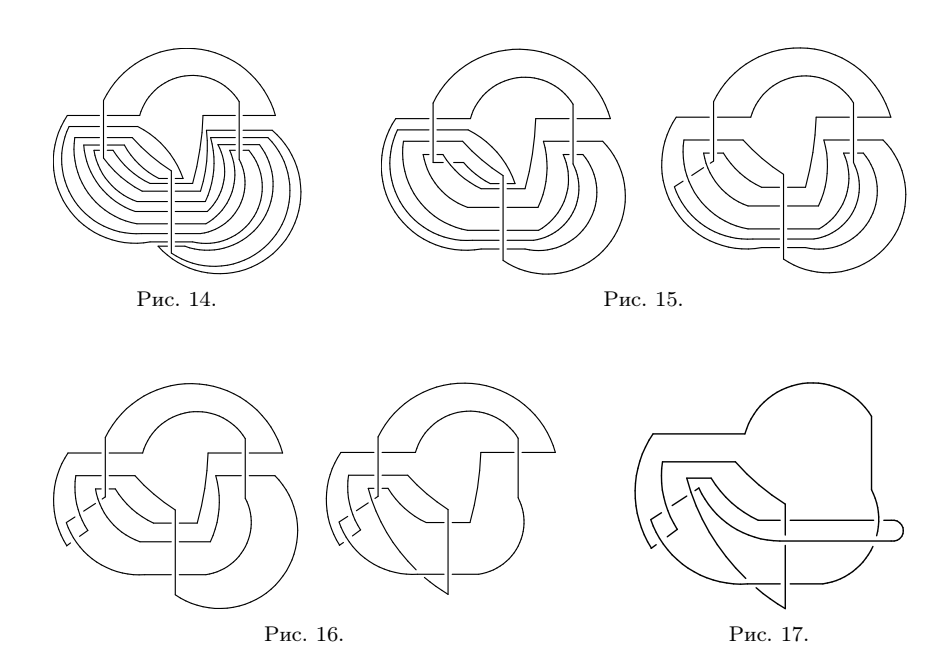
$$\pi_1(\mathbf{S}^3 - K) = \langle x, y, z \mid yz^{-1}xzy^{-1}xyz^{-1}x^{-1}zy^{-1}z^{-1}, x^{-1}zyz^{-1}xzx^{-1}zy^{-1}z^{-1}xy^{-1} \rangle.$$

Полином Александера для K может быть получен стандартным применением дифференциального исчисления Фокса (см. [29, гл. 9]), и мы имеем $\Delta_K(t) = 1-4t+5t^2-4t^3+t^4$. Последовательностью преобразований Рейдемейстера, приведенной на рис. 15–17, узел K приводится к диаграмме с 9 двойными точками на рис. 17. Поскольку узел 8_{21} из таблицы Ролфсена является единственным узлом порядка ≤ 9 с полиномом Александера $1-4t+5t^2-4t^3+t^4$ (см. [31, табл. 3]), то K и есть узел 8_{21} . Так как 8_{21} является узлом Монтесиноса $\mathbf{m}(-1;1/2,2/3,2/3)$ (см. [31, табл. 2], где используются слегка отличающиеся обозначения), утверждение доказано.

Отметим, что теорема 3 уточняет и расширяет результаты [32, теорема 4.2; 33, теорема 5.1]. Доказательство теоремы 3 дает также следующий результат.

Следствие 4. Многообразие Зейферта $\Sigma(n,p,q,l)$ является многообразием Данвуди D(q,q(nl-2),p-2q,n,p-q,0), если $p\geq 2q,$ и многообразием Данвуди D(p-q,2q-p,q(nl-2),n,p-q,1), если p<2q.

Замечание. Поскольку $\Sigma(n,p,p-1,1)=\Sigma(n-1,p,p-1,p),$ это многообразие одновременно является n-листным строго циклическим накрытием



линзового пространства L(pn-p-n,p-1), разветвленным над (1,1)-узлом K(1,p-2,(p-1)(n-2),1), и (n-1)-листным строго циклическим накрытием линзового пространства L(p(pn-p-n),p-1), разветвленным над (1,1)-узлом K(1,p-2,(p-1)(np-p-2),1) при p>2. Более того, многообразие Нойвирта $M_n=\Sigma(n,2,1,1)=\Sigma(n-1,2,1,2)$ одновременно является n-листным строго циклическим накрытием линзового пространства L(n-2,1), разветвленным над (1,1)-узлом K(1,n-2,0,1), и (n-1)-листным строго циклическим накрытием линзового пространства L(n-2,1), разветвленным над (1,1)-узлом K(1,n-2,0,1), и (n-1)-листным строго циклическим накрытием линзового пространства L(2n-4,1), разветвленным над (1,1)-узлом K(1,2n-4,0,1).

ЛИТЕРАТУРА

- 1. Bandieri P., Kim A. C., Mulazzani M. On the cyclic coverings of the knot 5_2 // Proc. Edinb. Math. Soc. 1999. V. 42, N 3. P. 575–587.
- Cavicchioli A., Hegenbarth F., Kim A. C. A geometric study of Sieradsky groups // Algebra Colloq. 1998. V. 5, N 2. P. 203–217.
- 3. Cavicchioli A., Hegenbarth F., Kim A. C. On cyclic branched coverings of torus knots // J. Geom. 1999. V. 64, N 1–2. P. 55–66.
- Cavicchioli A., Hegenbarth F., Repovs D. On manifold spines and cyclic presentations of groups // Knot theory. Proc. of the mini-semester, Warsaw, Poland, July 13-August 17, 1995. Warszawa: Polish Acad. Sci., Instit. Math., Banach Cent. Publ. 1998. V. 42. P. 49-56.
- 5. Helling H., Kim A. C., Mennicke J. L. A geometric study of Fibonacci groups // J. Lie Theory. 1998. V. 8, N 1. P. 1–23.
- Kim A. C. On the Fibonacci group and related topics // Contemp. Math. 1995. V. 184.
 P. 231–235. (Second Intern. Conf. on Algebra. Barnaul, 1991).
- Kim A. C., Kim Y., Vesnin A. On a class of cyclically presented groups // Proc. Intern. Conf., Groups-Korea '98. Berlin; New York: Walter de Gruyter, 2000. P. 211–220.
- Kim G., Kim Y., Vesnin A. The knot 5₂ and cyclically presented groups // J. Korean Math. Soc. 1998. V. 35, N 4. P. 961–980.
- Maclachlan C., Reid A. W. Generalised Fibonacci manifolds // Transform. Groups. 1997.
 V. 2, N 2. P. 165–182.
- **10.** Веснин А. Ю., Ким А. Ч. Дробные группы Фибоначчи и многообразия // Сиб. мат. журн. 1998. Т. 39, № 4. С. 765–775.

- Mulazzani M. Cyclic presentations of groups and cyclic branched coverings of (1, 1)-knots // Bull. Korean Math. Soc. 2003. V. 40, N 1. P. 101–108.
- Cattabriga A., Mulazzani M. Strongly-cyclic branched coverings of (1,1)-knots and cyclic presentation of groups // Math. Proc. Camb. Philos. Soc. 2003. V. 135, N 1. P. 137–146.
- Cattabriga A., Mulazzani M. (1, 1)-Knots via the mapping class group of the twice punctured torus // Adv. Geom. 2004. V. 4, N 2. P. 263–277.
- Dunwoody M. J. Cyclic presentations and 3-manifolds // Proc. Intern. Conf., Groups-Korea'94, Berlin; New York: Walter de Gruyter, 1995. P. 47–55.
- Grasselli L., Mulazzani M. Genus one 1-bridge knots and Dunwoody manifolds // Forum Math. 2001. V. 13, N 3. P. 379–397.
- Cattabriga A., Mulazzani M. All strongly-cyclic branched coverings of (1,1)-knots are Dunwoody manifolds // J. London Math. Soc. 2004. V. 70, N 2. P. 512–528.
- 17. Johnson D. L. Topics in the theory of group presentations Cambridge: Cambridge Univ. Press, 1980. (London Math. Soc. Lect. Note Ser.; V. 42).
- Cattabriga A., Mulazzani M. Representations of (1,1)-knots // Fund. Math. 2005. V. 188. P. 45–57.
- 19. Singer J. Three-dimensional manifolds and their Heegaard diagrams // Trans. Amer. Math. Soc. 1933. V. 35, N 1. P. 88–111.
- Seifert H., Threlfall W. Seifert and Threlfall: a textbook of topology // New York; London: Acad. Press, 1980. (Pure Appl. Math.; 89).
- Neuwirth L. An algorithm for the construction of 3-manifolds from 2-complexes // Proc. Camb. Philos. Soc. 1968. V. 64. P. 603–613.
- Cavicchioli A. Neuwirth manifolds and colourings of graphs // Aequationes Math. 1992. V. 44, N 2-3. P. 168-187.
- Grasselli L., Piccarreta S. Crystallizations of generalized Neuwirth manifolds // Forum Math. 1997. V. 9, N 6. P. 669–685.
- Szczepański A., Vesnin A. Generalized Neuwirth groups and Seifert fibered manifolds // Algebra Colloq. 2000. V. 7, N 3. P. 295–303.
- **25.** Ruini B., Spaggiari F., Vesnin A. On spines of Seifert fibered manifolds // Aequationes Math. 2003. V. 65, N 1–2. P. 40–60.
- Orlik P. Seifert manifolds. Berlin; New York: Springer-Verl., 1972. (Lecture Notes in Math.; V. 291).
- Casson A., Jungreis D. Convergence groups and Seifert fibered 3-manifolds // Invent. Math. 1994. V. 118, N 3. P. 441–456.
- **28.** Boileau M., Zieschang H. Heegaard genus of closed orientable Seifert 3-manifolds // Invent. Math. 1984. V. 76, N 3. P. 455–468.
- **29.** Burde G., Zieschang H. Knots. De Gruyter Studies in Mathematics, 5. Berlin: Walter de Gruyter, 1985.
- Takahashi M. Two knots with the same 2-fold branched covering space // Yokohama Math. J. 1977. V. 25, N 1. P. 91–99.
- 31. Kawauchi A. A survey of knot theory. Basel: Birkhauser-Verl., 1996.
- Cavicchioli A., Repovs D., Spaggiari F. Topological properties of cyclically presented groups // J. Knot Theory Ramifications. 2003. V. 12, N 2. P. 243–268.
- Spaggiari F. The combinatorics of some Tetrahedron manifolds // Discrete Math. 2005. V. 300, N 1–3. P. 163–179.

Статья поступила 9 апреля 2007 г.

Luigi Grasselli (Грасселли Луиджи)

Department of Sciences and Methods for Engineering, University of Modena and Reggio Emilia, 42100 Reggio Emilia, Italy

grasselli.luigi@unimore.it

Michele Mulazzani (Мулаццани Микеле)

Department of Mathematics, University of Bologna, I-40127 Bologna, Italy, and C.I.R.A.M., Bologna, Italy

mulazza@dm.unibo.it